

Modelação de uma rede social com base num grafo com
arcos de largura, orientação e inclinação arbitrárias.
Detecção de colisões em voo livre e em voo rasante.

João Paulo Jorge Pereira

Dezembro de 2012

Índice

1	Convenções e terminologia	1
1.1	Identificadores.....	1
1.2	Cena.....	1
1.3	Nó n_j	1
1.4	Arco a_{ij}	1
1.5	Grafo.....	1
1.6	Câmara.....	1
2	Modelação.....	2
2.1	Modelação de um nó.....	2
2.2	Modelação de um arco.....	2
3	Colocação da câmara na cena	3
4	Movimento interactivo (controlado pelo utilizador) – voo livre.....	3
4.1	Detecção de colisões	4
5	Movimento interactivo (controlado pelo utilizador) – voo rasante.....	5
5.1	Detecção de colisões num nó.....	5
5.2	Detecção de colisões num arco	5
5.3	Determinação de pertença – primeira abordagem.....	5
5.3.1	Pertença de um ponto a um nó.....	6
5.3.2	Pertença de um ponto a um arco.....	6
5.4	Determinação de pertença – segunda abordagem.....	6
5.4.1	Pertença de um ponto a um nó.....	7
5.4.2	Pertença de um ponto a um arco.....	7

Índice de figuras

Figura 1 – Modelo da rede social	2
--	---

1 Convenções e terminologia

1.1 Identificadores

- **Constantes e macros:** expressas em maiúsculas (por exemplo: K_ESFERA);
- **Variáveis:** expressas em minúsculas (por exemplo: dir);

1.2 Cena

- **Direcção e sentido do vector “para cima”:** os correspondentes ao semieixo positivo dos ZZ.

1.3 Nó n_i

- **Localização:** ponto de coordenadas (x_i, y_i, z_i) ;
- **Largura:** w_i (a largura de um nó será igual à maior das larguras dos arcos que convergem/divergem nesse/desse nó).

1.4 Arco a_{ij}

- **Ligação:** do nó n_i ao nó n_j ;
- **Desnível:** $h_{ij} = z_j - z_i$;
- **Comprimento:** s_{ij} ;
- **Largura:** w_{ij} ;
- **Orientação:** $\alpha_{ij} = \arctan^*((y_j - y_i) / (x_j - x_i))$ (em radianos);
- **Inclinação:** θ_{ij} (em radianos).

1.5 Grafo

- **Cota mínima:** $z_{min} = \min(z_i)$;
- **Cota máxima:** $z_{max} = \max(z_i)$.

1.6 Câmara

- **Geometria** (apenas para o voo livre): cubo imaginário de lado $DIMENSÃO_CÂMARA$;
- **Distância ao solo** (apenas para o voo rasante): $DISTÂNCIA_SOLO$;
- **Localização** (centro geométrico): ponto de coordenadas (x_p, y_p, z_p) ;
- **Orientação:** dir (em radianos);
- **Velocidade horizontal:** vel_h ;
- **Velocidade vertical** (apenas para o voo livre): vel_v ;
- **Velocidade total** (apenas para o voo livre): $vel = \sqrt{vel_h^2 + vel_v^2}$.

* Deverá usar-se a função $\text{atan2}()$ em vez de $\text{atan}()$.

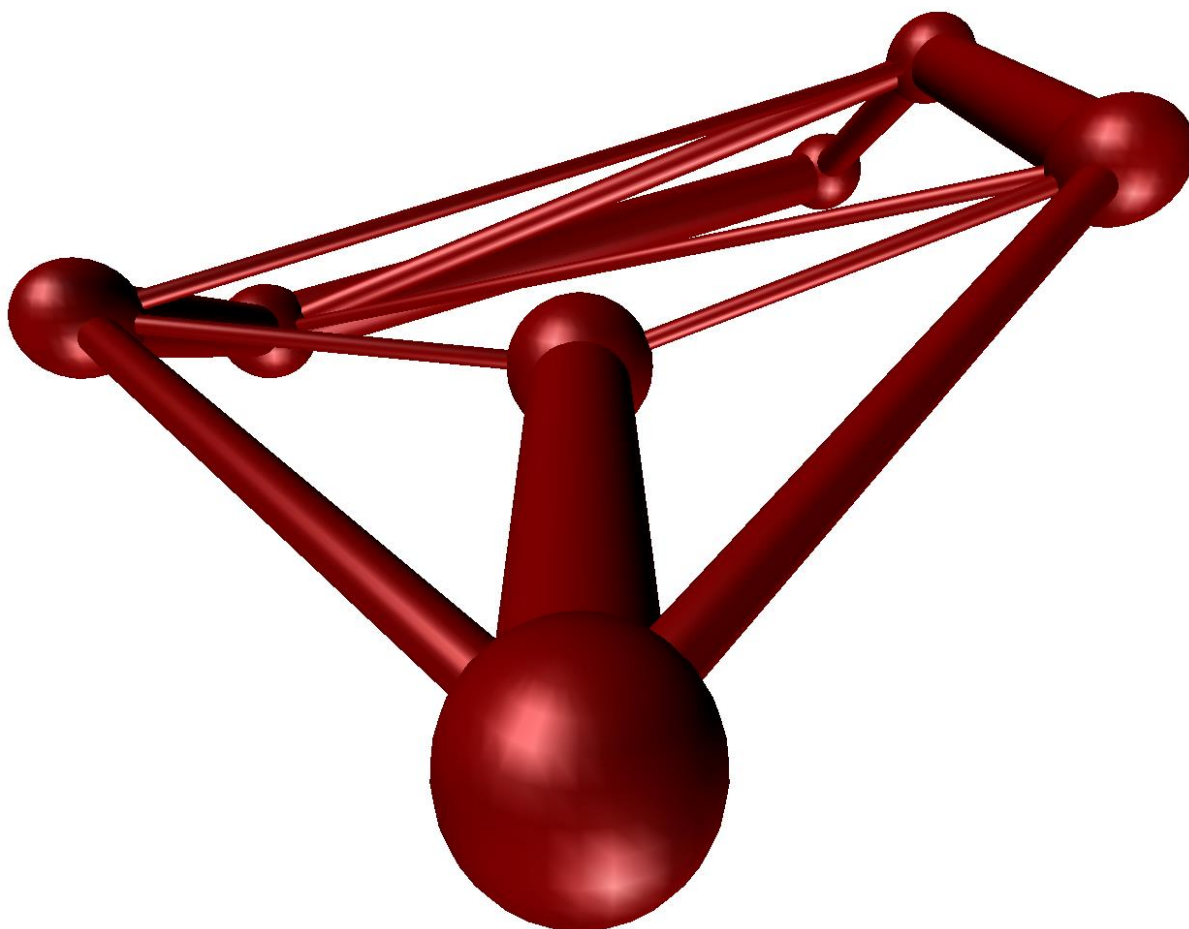


Figura 1 – Modelo da rede social

2 Modelação

A rede social poderá ser modelada da maneira que a seguir se descreve (Figura 1).

2.1 Modelação de um nó

A geometria associada a um nó n_i poderá ser a de uma esfera com as propriedades que a seguir se discriminam:

- **centro:** (x_i, y_i, z_i) ;
- **raio:** $r_i = K_ESFERA * w_i / 2.0$;
em que K_ESFERA designa uma constante superior a 1.0 (por exemplo, $K_ESFERA = 2.1$).

Poderá ser desenhado da seguinte maneira:

- translação segundo o vector (x_i, y_i, z_i) ;
- desenhado com centro na origem e raio igual a r_i^+ .

2.2 Modelação de um arco

A geometria associada a um arco a_{ij} poderá ser a de um cilindro com as propriedades que a seguir se discriminam:

⁺ Poderá usar-se a função `gluSphere()`.

- **comprimento da projecção no plano OXY:** $p_{ij} = \sqrt{(x_j - x_i)^2 + (y_j - y_i)^2}$;
- **desnível:** $h_{ij} = z_j - z_i$;
- **comprimento:** $s_{ij} = \sqrt{p_{ij}^2 + h_{ij}^2}$;
- **raio:** $w_{ij} / 2.0$;
- **orientação:** α_{ij} ;
- **inclinação:** $\theta_{ij} = \arctan(h_{ij} / p_{ij})$.

Poderá ser desenhado da seguinte maneira:

- translação segundo o vector (x_i, y_i, z_i) ;
- rotação de GRAUS(α_{ij}) em torno do eixo dos ZZ;
- rotação de GRAUS($\pi / 2.0 - \theta_{ij}$) em torno do eixo dos YY;
- desenhado ao longo do semieixo positivo dos ZZ, assente no plano OXY, comprimento igual a s_{ij} e raio igual a $w_{ij} / 2.0^\dagger$.

3 Colocação da câmara na cena

Para posicionar e orientar a câmara, a matriz de modelação e visualização poderá ser definida da seguinte maneira:

- matriz identidade;
- rotação de GRAUS($-\pi / 2.0$) em torno do eixo dos XX;
- rotação de GRAUS($\pi / 2.0 - dir$) em torno do eixo dos ZZ;
- translação segundo o vector $(-x_p, -y_p, -z_p)$.

4 Movimento interactivo (controlado pelo utilizador) – voo livre

Para o voo livre, poderão implementar-se os seguintes controlos[§]:

- tecla ' \leftarrow ': rodar para a esquerda;
- tecla ' \rightarrow ': rodar para a direita;
- tecla ' \uparrow ': avançar;
- tecla ' \downarrow ': recuar;
- tecla 'Q': subir;
- tecla 'A': descer.

A localização da câmara no próximo fotograma será dada pelas seguintes equações:

- $x'_p = x_p + k * vel_h * \cos(dir)$;
 - $y'_p = y_p + k * vel_h * \sin(dir)$;
 - $z'_p = z_p + k * vel_v$;
- em que k designa a fracção da distância a percorrer pela câmara; o seu valor será calculado mais adiante.

[†] Poderá usar-se a função `gluCylinder()`.

[§] Também poderá usar-se o rato.

4.1 Detecção de colisões

A detecção de colisões assume que a câmara tem a geometria de um cubo de lado *DIMENSÃO_CÂMARA* e baseia-se na utilização do modo de selecção conjugado com uma vista na primeira pessoa em projecção ortográfica. Mais concretamente:

- a matriz de projecção deverá ser definida da seguinte maneira:
 - matriz identidade;
 - $\text{glOrtho}(-\text{DIMENSÃO_CÂMARA} / 2.0, \text{DIMENSÃO_CÂMARA} / 2.0, -\text{DIMENSÃO_CÂMARA} / 2.0, \text{DIMENSÃO_CÂMARA} / 2.0, 0.0, \text{DIMENSÃO_CÂMARA} / 2.0 + \text{vel})$;
em que *vel* designa a velocidade total que resulta da combinação das velocidades horizontal e vertical da câmara;
- a matriz de modelação e visualização deverá ser a correspondente a uma vista na primeira pessoa, orientada na direcção e sentido que resultam da combinação dos movimentos horizontal e vertical. Poderá ser definida da seguinte maneira:
 - matriz identidade;
 - rotação de $\text{GRAUS}(-\pi / 2.0 - \arctan^{**}(\text{vel}_v, \text{vel}_h))$ em torno do eixo dos XX;
 - rotação de $\text{GRAUS}(\pi / 2.0 - \text{dir})$ em torno do eixo dos ZZ;
 - translação segundo o vector $(-x_p, -y_p, -z_p)$;
- note-se que a definição da matriz de modelação e visualização recorre às coordenadas da localização corrente da câmara (x_p, y_p, z_p) e não às da nova localização (x'_p, y'_p, z'_p) ;
- desenha-se os elementos constituintes do grafo, bem como quaisquer outros objectos com os quais se pretenda testar a colisão. Não será necessário atribuir-lhes nomes (no *stack* de nomes), a menos que se pretenda, por algum motivo, identificá-los inequivocamente mais tarde;
- haverá colisão se e só se a execução do desenho no modo de selecção assim definido tiver como resultado um conjunto não vazio.

Verificando-se esta condição, é necessário ajustar a localização da câmara de modo a fazê-la coincidir com o ponto de colisão. A realização deste ajustamento é particularmente importante nas situações em que a velocidade *vel* é elevada:

- inspeciona-se o *buffer* de resultados de maneira a identificar-se o menor dos valores mínimos de profundidade;
- sabendo as coordenadas do centro da janela e o menor dos valores mínimos de profundidade, recorre-se à função `gluUnProject()` para determinar o ponto (x''_p, y''_p, z''_p) da cena onde se verificou a colisão;
- a distância da câmara ao ponto de colisão será dada pela seguinte equação:
 - $d = \sqrt{(x''_p - x_p)^2 + (y''_p - y_p)^2 + (z''_p - z_p)^2}$;
- a fracção da distância a percorrer pela câmara será dada pela seguinte equação:
 - $k = (d - \text{DIMENSÃO_CÂMARA} / 2.0 - \text{INFINITÉSIMO}) / \text{vel}$.

Não se verificando qualquer colisão, a fracção da distância a percorrer pela câmara será igual à unidade:

^{**} Deverá usar-se a função `atan2()` em vez de `atan()`.

- $k = 1.0$.

Independentemente de se ter ou não verificado uma colisão, as coordenadas actualizadas da localização da câmara serão dadas pelas equações:

- $x_p = x'_p$;
- $y_p = y'_p$;
- $z_p = z'_p$.

5 Movimento interactivo (controlado pelo utilizador) – voo rasante

Para o voo rasante, poderão implementar-se os seguintes controlos^{††}:

- tecla '←': rodar para a esquerda;
- tecla '→': rodar para a direita;
- tecla '↑': avançar;
- tecla '↓': recuar.

Deverá manter-se um registo actualizado da localização da câmara no grafo, ou seja, se esta se encontra num dado nó (o nó n_i) ou num dado arco (o arco a_{ij}).

Caso não houvesse colisão, a localização da câmara no próximo fotograma seria dada pelas seguintes equações (apenas a abcissa e a ordenada; a cota será calculada mais adiante):

- $x'_p = x_p + vel_h * \cos(dir)$;
- $y'_p = y_p + vel_h * \sin(dir)$.

5.1 Detecção de colisões num nó

Caso a câmara se encontre no nó n_i do grafo, não haverá colisão se o ponto correspondente à nova localização pertencer:

- a esse nó;
- a um dos arcos que convergem/divergem nesse/desse nó.

5.2 Detecção de colisões num arco

Caso a câmara se encontre no arco a_{ij} do grafo, não haverá colisão se o ponto correspondente à nova localização pertencer:

- a esse arco;
- ao nó n_i ;
- ao nó n_j .

5.3 Determinação de pertença – primeira abordagem

A primeira abordagem é puramente matemática e restringe significativamente a complexidade da geometria dos nós e dos arcos constituintes do grafo, sob pena de os cálculos se tornarem demasiado complicados. Baseia-se no facto de a projecção ortogonal de uma esfera e de um cilindro no plano OXY corresponderem a um círculo e um rectângulo, respectivamente.

^{††} Também poderá usar-se o rato.

5.3.1 Pertença de um ponto a um nó

O ponto correspondente à nova localização da câmara pertencerá ao nó n_i se e só se a sua projecção no plano OXY pertencer ao círculo (esfera projectada) que o representa. Por outras palavras, se e só se a distância do ponto projectado ao centro do círculo não for superior ao raio:

- $(x'_p - x_i)^2 + (y'_p - y_i)^2 \leq r_i^2$.

Verificando-se esta condição, considera-se que a câmara passa a estar (caso não estivesse já) localizada no nó n_i do grafo. As coordenadas da nova localização serão dadas pelas equações:

- $x_p = x'_p$;
- $y_p = y'_p$;
- $z_p = z_i + \text{DISTÂNCIA_SOLO}$.

5.3.2 Pertença de um ponto a um arco

Para determinar se o ponto correspondente à nova localização da câmara pertence ao arco a_{ij} , poderá proceder-se da maneira que a seguir se descreve:

Efectua-se uma mudança de sistema de coordenadas que verifique as seguintes condições:

- faça coincidir a nova origem com o ponto (x_i, y_i) ;
- alinhe o novo eixo dos XX com o eixo longitudinal da projecção do arco no plano OXY.

Neste novo sistema, as coordenadas correspondentes à nova localização da câmara serão dadas pelas seguintes equações:

- $x''_p = (x'_p - x_i) * \cos(\alpha_{ij}) + (y'_p - y_i) * \sin(\alpha_{ij})$;
- $y''_p = (y'_p - y_i) * \cos(\alpha_{ij}) - (x'_p - x_i) * \sin(\alpha_{ij})$.

O ponto correspondente à nova localização da câmara pertencerá ao arco se e só se a sua projecção no plano OXY não ultrapassar os limites do rectângulo (cilindro projectado) que o representa:

- $0.0 < x''_p < p_{ij}$;
- $-w_{ij} / 2.0 \leq y''_p \leq w_{ij} / 2.0$.

Verificando-se estas condições, considera-se que a câmara passa a estar (caso não estivesse já) localizada no arco a_{ij} do grafo. As coordenadas da nova localização serão dadas por equações que se assemelham às da pertença a um nó. A única diferença reside na inclusão de uma regra de três simples no cálculo da cota:

- $x_p = x'_p$;
- $y_p = y'_p$;
- $z_p = z_i + x''_p / p_{ij} * h_{ij} + \text{DISTÂNCIA_SOLO}$.

5.4 Determinação de pertença – segunda abordagem

A segunda abordagem é mais flexível do que a anterior, na medida em que não impõe grandes restrições à geometria dos nós e dos arcos constituintes do grafo. Também é mais simples, pois dispensa a realização de qualquer mudança de sistema de coordenadas. Baseia-se na utilização do modo *picking* conjugado com uma vista superior em projecção ortográfica centrada no ponto do

plano OXY correspondente à nova localização da câmara, ou seja, o ponto $(x'_p, y'_p, 0.0)$. Mais concretamente:

- o centro da região de *picking* deverá coincidir com o centro da janela;
- a matriz de projecção poderá ser definida da seguinte maneira:
 - matriz identidade;
 - $\text{glOrtho}(x'_p - \text{vel}_h, x'_p + \text{vel}_h, y'_p - \text{vel}_h, y'_p + \text{vel}_h, \text{near}, \text{far});$
em que $\text{near} < -z_{\max}$ e $\text{far} > -z_{\min}^{**}$;
- a matriz de modelação e visualização poderá ser a matriz identidade;
- desenha-se apenas os elementos do grafo que se pretende testar, tendo o cuidado de lhes atribuir nomes (no *stack* de nomes) que permitam identificá-los inequivocamente mais tarde;
- o ponto correspondente à nova localização da câmara pertencerá a um destes elementos se e só se a execução do desenho no modo *picking* assim definido tiver como resultado um conjunto não vazio;
- verificando-se esta condição, inspeciona-se o *buffer* de resultados de maneira a identificar-se o elemento do conjunto com a cota mais elevada, ou seja, aquele a que corresponde o menor dos valores mínimos de profundidade;
- sabendo as coordenadas do centro da janela e o menor dos valores mínimos de profundidade, recorre-se à função $\text{gluUnProject}()$ para determinar o ponto da cena correspondente (x''_p, y''_p, z''_p) . Na realidade apenas se pretende calcular a cota z''_p , pois os valores de x''_p e de y''_p já são conhecidos: x''_p será forçosamente igual a x'_p ; e y''_p igual a y'_p .

5.4.1 Pertença de um ponto a um nó

Se o elemento identificado pela execução do desenho no modo *picking* corresponder ao nó n_i , considera-se que a câmara passa a estar (caso não estivesse já) localizada neste nó do grafo. As coordenadas da nova localização serão dadas pelas equações:

- $x_p = x''_p;$
- $y_p = y''_p;$
- $z_p = z''_p + \text{DISTÂNCIA_SOLO}.$

5.4.2 Pertença de um ponto a um arco

Se o elemento identificado pela execução do desenho no modo *picking* corresponder ao arco a_{ij} , considera-se que a câmara passa a estar (caso não estivesse já) localizada neste arco do grafo. As coordenadas da nova localização serão dadas por equações idênticas às da pertença a um nó:

- $x_p = x''_p;$
- $y_p = y''_p;$
- $z_p = z''_p + \text{DISTÂNCIA_SOLO}.$

^{**} Se estiver a ser usada uma transformação de escala no desenho do rede social (por exemplo, $\text{glScalef}(s_x, s_y, s_z)$), o factor segundo o eixo dos ZZ (s_z) deverá ser tido em consideração no cálculo dos planos *near* e *far*. Mais concretamente: $\text{near} < -z_{\max} * s_z$ e $\text{far} > -z_{\min} * s_z$.